

Karşılıklı Bilgi Ölçütü Kullanılarak Giyilebilir Hareket Duyucu Sinyallerinin Aktivite Tanıma Amaçlı Analizi

The Analysis of Wearable Motion Sensors in Human Activity Recognition Based on Mutual Information Criterion

Oğuzcan Dobrucalı, Billur Barshan
Elektrik ve Elektronik Mühendisliği Bölümü
Bilkent Üniversitesi
{dobrucalı,billur}@ee.bilkent.edu.tr

Özetçe —Giyilebilir hareket duyuları ile insan aktivitelerinin saptanmasında, uygun duyucu yapılanmasıının seçimi önem taşıyan bir konudur. Bu konu, kullanılacak duyuların sayısının, türünün, sabitlenecekleri konum ve yönelimin belirlenmesi problemlerini içermektedir. Literatürde konuya ilgili önceki çalışmalarda araştırmacılar, kendi seçikleri duyucu yapılanması ile diğer olası duyucu yapılanmasılarını, söz konusu yapılanması ile insan aktivitelerini ayırt etme başarılarda göre karşılaştırılmışlardır. Ancak, söz konusu ayırt etme başarılardan, kullanılan öznitelikler ve sınıflandırıcılara bağlı olduğu yadsınamaz. Bu çalışmada karşılıklı bilgi ölçüyü kullanılarak duyucu yapılanması, duyularından kaydedilen ham ölçümlein zaman uzayındaki dağılımlarına göre belirlenmektedir. Bedenin farklı noktalarında bulunan ivmeler, dönümler ve manyetometrelerin ölçüm eksenleri arasından, gerçekleştirilen insan aktiviteleri hakkında en çok bilgi sağlayanları saptanmıştır.

Anahtar Kelimeler—giyilebilir hareket duyuları, insan aktivitelerinin tanımı, duyucu yapılanması, karşılıklı bilgi miktarı

Abstract—Selecting a suitable sensor configuration is an important aspect of recognizing human activities with wearable motion sensors. This problem encompasses selecting the number and type of the sensors, their position on the human body. In earlier works, researchers have used customized sensor configurations, and compared them with others in terms of the activity recognition rate. However, it is clear that these comparisons are dependent on the feature sets and classifiers employed. In this study, employing mutual information measure, sensor configurations are determined with respect to the time-domain distributions of the raw sensor measurements. The most informative axes of the accelerometers, gyroscopes, and magnetometers fixed at several locations on the human body are detected.

Keywords—wearable motion sensors, human activity recognition, sensor configuration, mutual information

I. GİRİŞ

İnsan aktivitelerinin otomatik tanınması, üzerinde yoğun olarak çalışılan bir konu olup, insan aktivitelerinin belirsiz ve değişken yapısı nedeniyle çözümü zor bir problemdir. Günlük bir aktivite ya da bedensel hareketi her kişi diğerlerinden farklı bir biçimde gerçekleştirebilir, veya bir kişi aynı anda birden fazla hareketi yapıyor olabilir. Ayrıca, art arda gerçekleştirilen hareketler arasında sürekli bir nedensonuç ilişkisi bulunmayabilir [1]. Bir takım duyular ve akıllı algoritmalar kullanılarak, insan aktiviteleri otomatik olarak tanımlanıp sınıflandırılabilirmektedir. Güdümlü öğrenme yaklaşımı ile daha önceden belletilen tanıma modellerine göre hareketler saptanabilirken, güdümsüz öğrenme yaklaşımında önceden belletilmiş herhangi bir model kullanılmaz. Kişi-lerin fiziksel davranışlarına göre (örneğin, yürüme örüntülerine göre) ayırt edilmesi, olağan dışı insan aktivitelerinin güvenlik sistemlerince saptanması, akıllı cihazların kullanıcılarla etkileşimi, animasyonlarda ve robot bilimde insan hareketlerinin sentez edilmesi, tıbbi rehabilitasyon, yaşlı ve engelli hastaların uzaktan izlenmesi [2], [3] gibi uygulamalarda insan aktivitelerinin otomatik tanınmasından yararlanılabilir.

Aktivite tanımda kullanılan başlıca ölçüm tipleri, video kameralardan elde edilen görüntüler [3], giyilebilir eylemsizlik ve manyetik duyularından elde edilen hareket ölçümleri [2], [4], mikrofon ve titreşim duyularından elde edilen akustik ölçümlerdir. Bazı çalışmalarda ölçüm sağlayacak duyular, izlenecek kişinin yaşam alanına gömülü olarak yerleştirilir. Bu durumda, izlenen kişinin hareket alanı sınırlılmış olur. Bu olumsuzluğu gidermek amacıyla giyilebilir sistemlerde duyular, izlenecek kişinin üzerine yerleştirilerek harekete bağlı ölçümler doğrudan elde edilir. Bu durumda söz konusu duyular, ivmeler, dönümler, manyetometre, eğimölçer vb. cihazlar olabilir [2]. Beden üzerinde bir veya birden fazla noktaya yerleştirilen duyuların elde edilen ölçümler kaydedildikten sonra işlenir. Duyular genellikle baş, kollar, omuzlar, el bilekleri, göğüs, bel, kaval kemikleri, uyluk kemikleri ve/veya ayak bileklerine yerleştirilir. Giyilebilir

duyucular, izlenen kişinin hareket alanını sınırlamadığı ve özel hayatı tehdit etmediği için tercih edilmektedirler. Ancak izlenen kişi, duyucuları giymeyi ihmal edebilir, unutabilir, doğru biçimde yerleştiremeyebilir, veya üzerine yerleştirilen duyucular nedeniyle kendini rahatsız hissedebilir [7].

İzlenecek kişinin bedeni üzerinde kullanılacak *duyucu yapılanması*, şu problemleri kapsayan temel bir konudur: (i) kullanılacak duyucu birimlerinin çeşitlerinin ve sayılarının belirlenmesi, (ii) kullanılacak duyucu türlerinin vücut üzerindeki konumlarının saptanması, (iii) kullanılacak duyucu birimlerinin hangi ölçüm eksenlerinden yararlanılacağıının belirlenmesidir. Literatürdeki çalışmalarında, tanıma başarısını yükseltmek amacıyla sınıflandırmada kullanılmak üzere, genelde sabit bir duyucu yapılanmasına göre zaman ve frekans uzaylarındaki en uygun öznitelikler seçilmektedir [8]. Burada göz arı edilen nokta, uygun duyucu yapılanmasıının nesnel bir şekilde belirlenmesine yönelik herhangi bir ölçüt kullanılmamıştır. Literatürde çeşitli duyucu yapıları önerilmektedir. Karşılaştırmaya dayalı bazı çalışmalar [9]–[12], elde edilen tanıma başarımlarına göre duyucu yapıları ile öznitelik kümeleri arasındaki ilişkiye şu şekilde incelemektedir: Eldeki tüm duyuculardan tam kapasitede yararlanıldığı durumda en uygun öznitelik kümesi belirlenir ya da eldeki tüm öznitelikler kullanılırken en uygun duyucu yapılanması saptanır. Bu şekilde belirlenen duyucu yapılarının, kullanılan öznitelik kümesine bağlı olacağı açıklıktır. Bu sonuç, örneğin, araştırmacıların farklı duyucu yapılarında farklı öznitelik kümeleri kullanarak tanıma başarımlarını karşılaştırdığı bir çalışmada görülmektedir [8]: Temel bir sınıflandırıcı kullanılarak duyucuların vücut üzerindeki konumlarının tanıma başarısına olan katkılarının, kullanılan öznitelik kümelerine göre değişiklik gösterdiği görülmüştür.

Bu çalışmada, gerçekleştirilen bedensel hareketlerle ilgili en çok bilgi sağlayan duyucu yapıları, duyuculardan elde edilen ham ölçümlerin zaman uzayındaki dağılımlarına ve ölçümler ile hareketlerin karşılıklı bilgi miktarlarına göre belirlenmiştir. Bu yaklaşım, herhangi bir öznitelik kümesi ve sınıflandırıcıdan bağımsız olduğu için, yukarıda anılan yöntemlere göre daha nesneldir.

Bildirinin izleyen bölümleri şu şekilde planlanmıştır: II. Bölümde karşılıklı bilgi miktarı kavramı açıklanmış, III. Bölümde ise bu çalışmada yararlanılan insan aktiviteleri veri kümesi tanıtılmıştır. Önerilen yöntem ve sonuçları IV. Bölümde verilirken, son bölümde çalışmadan elde edilen çıkarımlara yer verilmiştir.

II. KARŞILIKLI BİLGİ MİKTARI KAVRAMI

Entropi, bir rasgele değişkene ait belirsizliğin ölçümünü ifade eder. Rasgele bir sürekli değişken olan \mathcal{X} 'in entropisi bit cinsinden $H(\mathcal{X}) = - \int f_{\mathcal{X}}(x) \log_2 f_{\mathcal{X}}(x) dx$ olarak ifade edilir. Burada $f_{\mathcal{X}}$, \mathcal{X} 'in marginal olasılık yoğunluk fonksiyonudur. *Koşullu entropi* ise bir rasgele değişkene ait belirsizliğin, kendisiyle ilintili başka bir rasgele değişkenin değerinin bilinmesi durumunda ölçümünü ifade eder. Bir sürekli rasgele değişken \mathcal{Y} 'nin bilinmesi koşuluyla \mathcal{X} 'in entropisi bit cinsinden $H(\mathcal{X}|\mathcal{Y}) = - \int \int f_{\mathcal{X},\mathcal{Y}}(x,y) \log_2 f_{\mathcal{X}|\mathcal{Y}}(x|y) dx dy$ olarak ifade edilir. Burada, $f_{\mathcal{X},\mathcal{Y}}$ ve $f_{\mathcal{X}|\mathcal{Y}}$ sırasıyla birleşik ve koşullu olasılık yoğunluk fonksiyonlarıdır.

Entropi ve koşullu entropiye göre, iki rasgele değişken arasındaki *karşılıklı bilgi miktarı*, bir değişkenin değeri bilindiğinde diğer değişkene ait belirsizliğin azalma miktarını gösterir. Buna göre, \mathcal{X} ve \mathcal{Y} arasındaki karşılıklı bilgi miktarı bit cinsinden $I(\mathcal{X}, \mathcal{Y}) = H(\mathcal{X}) - H(\mathcal{X}|\mathcal{Y}) = H(\mathcal{Y}) - H(\mathcal{Y}|\mathcal{X})$ olarak ifade edilir. $I(\mathcal{X}, \mathcal{Y})$, sıfır ile $\min\{H(\mathcal{X}), H(\mathcal{Y})\}$ olup ölçeklenebilir bir ölçüt olmaktadır. Karşılıklı bilgi miktarı, aynı zamanda rasgele değişkenlerin birleşik olasılık yoğunluk fonksiyonu ile marginal olasılık yoğunluk fonksiyonlarının çarpımı arasındaki *Kullback-Leibler uzaklığı* ile ifade edilir. Sürekli rasgele değişkenler olan \mathcal{X} ve \mathcal{Y} için;

$$I(\mathcal{X}, \mathcal{Y}) = \int \int f_{\mathcal{X},\mathcal{Y}}(x,y) \log_2 \frac{f_{\mathcal{X},\mathcal{Y}}(x,y)}{f_{\mathcal{X}}(x) f_{\mathcal{Y}}(y)} dx dy \quad (1)$$

Sonuçta, iki rasgele değişken arasındaki karşılıklı bilgi miktarı, bu değişkenlerin birbirleriyle olan ilintisinin bir ölçütü de olmaktadır [13]. İki rasgele değişken arasındaki *ilinti kat sayısı* yerine karşılıklı bilgi miktarının hesaplanması, aşağıdaki açılarından yararlıdır [14]:

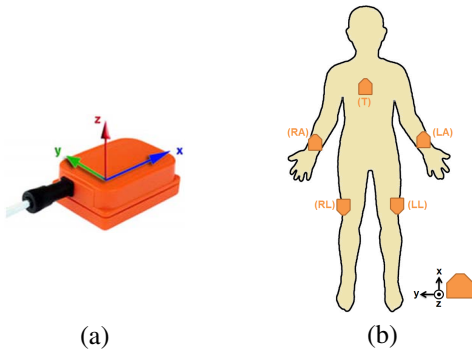
- Aynı veya farklı boyutlardaki iki rasgele değişken arasındaki ilintinin hesaplanabilmesi.
- Hesaplanan ilintinin, rasgele değişkenlerin aldığı gerçel değerlerden bağımsız olarak değişkenlerin olasılık yoğunluk fonksiyonlarına bağımlı olması.
- Rasgele değişkenler arasındaki hem doğrusal hem de doğrusal olmayan ilintinin hesaplanabilmesi.

III. İNSAN AKTİVİTELERİ VERİ KÜMESİ

Bu çalışmada kullanılan veri kümesi, Bilkent Üniversitesi'ndeki araştırma grubumuz tarafından oluşturulmuş ve önceki çalışmalarımızda [9], [12], [15] kullanılmıştır. Veri kümesi, toplam 19 adet günlük ve spor aktiviteleri sırasında toplanan ölçümlerden oluşmaktadır. Her bir hareket, yaşları 20 ile 30 arasında değişen dört kadın ve dört erkek tarafından, beş dakika boyunca herhangi bir kısıtlama getirilmeden gerçekleştirilmiş, bu şekilde elde edilen ölçümler, katılımcılara göre çeşitlilik göstermiştir [9].

Her denegin göğsüne (T), sağ koluna (RA), sol koluna (LA), sağ bacağına (RL), sol bacağına (LL) duyucu birimleri yerleştirilmiştir. Her duyucu biriminde, eksenleri birbirleriyle Şekil 1(a)'da belirtilen biçimde örtüştürülmüş üç-eksenli ivmeölçer (ACC), dönüölçer (GYRO) ve manyetometre (MAGN) bulunmaktadır. Duyucu biriminde bulunan ivmeölçer eksenlerinde $\pm 18g$, dönüölçer eksenlerinde $\pm 1200^\circ/s$, manyetometre eksenlerinde ise $\pm 75 \mu T$ aralığında ölçüm alınabilmektedir [16]. Buradaki g , yerçekimi ivme sabiti olup, değeri 9.80665 m/s^2 dir. Duyucu birimlerinin her katılımcı üzerindeki konum ve yönelimleri Şekil 1(b)'de gösterilmektedir.

Veri kümesinde yer alan insan aktiviteleri \mathcal{A} kümesi içinde tanımlanmıştır. Bir denegin, bir aktiviteyi gerçekleştirdiği sırada, 45 adet duyucu ekseninden elde edilen ölçümler, 25 Hz örnekleme hızıyla aynı anda kaydedilmiştir. Bir duyucu ekseninden alınan ayrık zamanlı kayıt sinyali $U_{ijkc}[n]$ olarak temsil edilir. Burada yer alan i değişkeni $\{T, RA, LA, RL, LL\}$ değerlerinden birini alacak şekilde duyucu biriminin konumunu, j değişkeni $\{ACC, GYRO, MAGN\}$ değerlerinden



Şekil 1: (a) Duyucu birimi (www.xsens.com/en/general/mtx) ve (b) duyucu birimlerinin katılımcı bedeni üzerindeki konum ve yönelimleri (beden silueti www.anatomyacts.co.uk/learning-primary/Montage.htm adresinden alınmıştır).

birini alacak şekilde duyucu türünü, k değişkeni $\{x, y, z\}$ değerlerinden birini alacak şekilde duyucu eksenini, c değişkeni \mathcal{A} kümesinin bir elemanının değerini alacak şekilde gerçekleştirilen hareketi, n değişkeni $\{1, 2, \dots, 7500\}$ değerlerinden birini alacak şekilde ayrik zamanı belirtir.

IV. UYGULANAN YÖNTEM

Doğrusal ivme, dairesel hız veya manyetik alan şiddeti cinsinden ölçümelerle, gerçekleştirilen hareketler arasındaki karşılıklı bilgi miktarının hesaplanması sonucunda hangi duyucu eksenlerinin daha fazla bilgi sağladığının saptanması amaçlanmaktadır.

Bu amaç doğrultusunda, insan aktiviteleri ayrik değerli C rasgele değişkeni olarak tanımlanmış ve \mathcal{A} kümesi elemanlarının değerlerini eşit olasılıkla alabileceğini kabul edilmiştir. Bu olasılık, $\Pr\{\mathcal{C} = c\} = \frac{1}{|\mathcal{A}|} = \frac{1}{19}$ biçiminde ifade edilebilir. Ayrıca, insan aktiviteleri arasında herhangi bir ilinti ve işlem sırasında hangi hareketin gerçekleştirildiğine dair bir ön bilgi bulunmadığı varsayılmıştır.

Veri kümesinde tanımlı duyucu yapılanışında yer alan her duyucu ekseni, \mathcal{M}_{ijk} ile temsil edilen ayrı bir sürekli değerli rasgele değişken ile tanımlanmıştır. Böylece, veri kümesinde tanımlı bir katılımcı için \mathcal{C} ve \mathcal{M}_{ijk} arasındaki karşılıklı bilgi miktarı aşağıdaki şekilde ifade edilir:

$$\begin{aligned} \mathcal{I}_l(\mathcal{M}_{ijk}, \mathcal{C}) &= \sum_{c \in \mathcal{A}} \int_{m_{ijk} \in \mathbb{R}} f_{\mathcal{M}_{ijk}, \mathcal{C}}(m_{ijk}, c) \\ &\quad \times \log_2 \frac{f_{\mathcal{M}_{ijk}, \mathcal{C}}(m_{ijk}, c)}{f_{\mathcal{M}_{ijk}}(m_{ijk}) \Pr\{\mathcal{C} = c\}} dm_{ijk} \end{aligned} \quad (2)$$

Yukarıdaki denkleme yer alan l değişkeni $\{1, 2, \dots, 8\}$ değerlerinden birini alacak şekilde söz konusu katılımcıyı belirtir. Bu denklemi hesaplamadan önce $f_{\mathcal{M}_{ijk}, \mathcal{C}}$ ve $f_{\mathcal{M}_{ijk}}$ fonksiyonlarının l katılımcısına göre modellenmesi gerekmektedir.

C 'nin alabileceği değerlerin birbirinden bağımsız olduğu varsayımdan dolayı $f_{\mathcal{M}_{ijk}, \mathcal{C}}$ fonksiyonu, $f_{\mathcal{M}_{ijk}, \mathcal{C}}(m_{ijk}, c) = \{\cup f_{\mathcal{M}_{ijk} | \mathcal{C}}(m_{ijk} | c) : c \in \mathcal{A}\}$ şeklinde ifade edilebilir. Bu ifadeye yer alan $f_{\mathcal{M}_{ijk} | \mathcal{C}}$ fonksiyonun parametrik olmayan kestirimini olan $\hat{f}_{\mathcal{M}_{ijk} | \mathcal{C}}$, Gauss çekirdek fonksiyonu kullanılarak, tüm $c \in \mathcal{A}$ değerleri için, U_{ijkc} değerlerine göre hesaplanmaktadır. Söz konusu

çekirdek fonksiyonunun bant genişliği ise U_{ijkc} değerleri üzerinden gerçekleştirilen çapraz geçerlilik sinaması ile belirlenir [17]. $f_{\mathcal{M}_{ijk}}$ fonksiyonun da parametrik olmayan kestirimini $\hat{f}_{\mathcal{M}_{ijk}}(m_{ijk}) = \sum_{c \in \mathcal{A}} \hat{f}_{\mathcal{M}_{ijk} | \mathcal{C}}(m_{ijk} | c)$ şeklinde hesaplanır.

Tüm $c \in \mathcal{A}$ değerleri için U_{ijkc} değerlerinin alabileceği gerçek sayı aralığı, yeterince küçük δm_{ijk} genişliğinde parçalara bölünmüştür, bu parçaların orta noktalarının değerleri ise M_{ijk} kümesine toplanmıştır. Sonuç olarak, $\mathcal{I}_l(\mathcal{M}_{ijk}, \mathcal{C})$ değeri, aşağıdaki Riemann toplamı ifadesi ile kestirilir:

$$\begin{aligned} \mathcal{I}_l(\mathcal{M}_{ijk}, \mathcal{C}) &\approx \sum_{c \in \mathcal{A}} \sum_{m_{ijk} \in M_{ijk}} \hat{f}_{\mathcal{M}_{ijk}, \mathcal{C}}(m_{ijk}, c) \\ &\quad \times \log_2 \frac{\hat{f}_{\mathcal{M}_{ijk}, \mathcal{C}}(m_{ijk}, c)}{\hat{f}_{\mathcal{M}_{ijk}}(m_{ijk}) \Pr\{\mathcal{C} = c\}} \delta m_{ijk} \end{aligned} \quad (3)$$

$\mathcal{I}_l(\mathcal{M}_{ijk}, \mathcal{C})$, entropi cinsinden $\mathcal{H}(\mathcal{C}) - \mathcal{H}(\mathcal{C} | \mathcal{M}_{ijk})$ şeklinde ifade edilebilir. Hem $\mathcal{H}(\mathcal{C})$ hem de $\mathcal{H}(\mathcal{C} | \mathcal{M}_{ijk})$ sıfırdan büyük. Gerçekleştirilen etkinlikler hakkında hiçbir ön bilgi bulunmadığı varsayımya nedeniyle, veri kümesinde tanımlı 19 hareket 5 bit ile kodlanabilir. Böylece, $\mathcal{H}(\mathcal{C})$ en fazla 5 bit olabilir. Bu değer, aynı zamanda $\mathcal{I}_l(\mathcal{M}_{ijk}, \mathcal{C})$ 'nın alabileceği değerlerin üst sınırıdır.

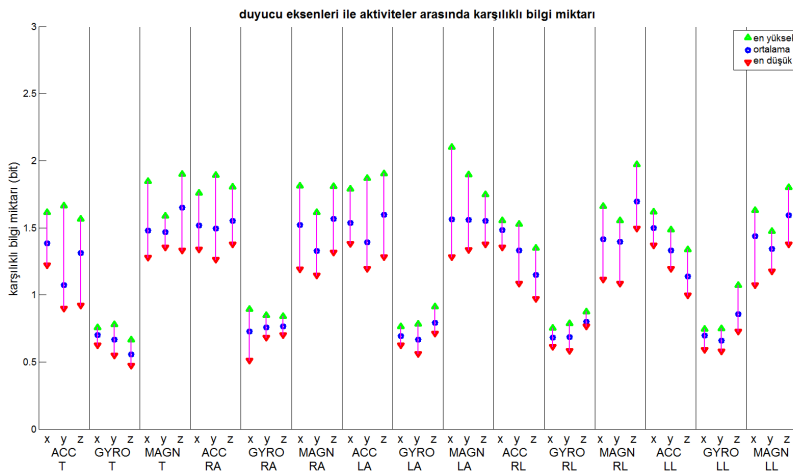
Her duyucu ekseni için $\mathcal{I}_l(\mathcal{M}_{ijk}, \mathcal{C})$ değeri tüm katılımcılar için hesaplanmış, katılımcılara göre elde edilen en düşük, en yüksek ve ortalama değerleri, Şekil 2'de gösterilmiştir. Şekli inceleyerek şu çıkarımlarda bulunulmuştur:

- Tüm duyucu birimlerindeki ivmeölçer ve manyetometrelerin, dönüölçerlere göre gerçekleştirilen hareketlerle ilintili daha çok bilgi verdikleri açıkça görülmektedir.
- Hareketler gerçekleştirildiğinde bedenin doğrusal hareketinin en etkin ölçüldüğü göğüs kısmında, ileri-geri ve aşağı-yukarı doğrultularındaki ivmeölçer eksenlerinin, bunlara dik olan üçüncü ivmeölçer eksene göre gerçekleştirilen hareketlerle ilintili daha yüksek bilgi verdikleri anlaşılmaktadır.
- Sağ bacakta bulunan duyucu eksenlerinin sağladıkları ortalama bilgi miktarlarının, sol bacakta bulunan karşılıklarının sağladıkları ortalama bilgi miktarları ile aynı düzeylerde olması, gerçekleştirilen hareketlerin çoğu bacakların simetrik hareket ettiğini göstermektedir. Ancak, benzer durum kollarda açıkça görülmemektedir. Bu durum, gerçekleştirilen hareketler esnasında kolların simetrik hareket ettiğilmediğini göstermektedir.

V. SONUÇ

Bu çalışmada, 19 adet günlük ve spor aktivitelerine ait işaretlerin giyilebilir eylemsizlik ve manyetik duyucularla kaydedildiği bir veri kümesi kullanılmış olup, gerçekleştirilen hareketlerle ilintili en çok bilgi sağlayan duyucular, eksenler bazında belirlenmiştir.

Aktivite tanıma konusunda gerçekleştirilen birçok çalışmada, kullanılan hareket duyucularının her bir eksene eşit ağırlık verilmektedir. Ancak, bu çalışma sonucunda, her



Şekil 2: Her duyucu ekseni ile insan aktiviteleri arasındaki karşılıklı bilgi miktarının katılımcılar üzerinden elde edilen en yüksek, ortalama ve en düşük değerleri (T: göğüs, RA: sağ kol, LA: sol kol, RL: sağ bacak, LL: sol bacak, ACC: ivmeölçer, GYRO: dönüölçer, MAGN: manyetometre).

duyucu ekseninin diğerlerine göre hareket tanıma sürecine eşit katkı yapmadıkları, hareketlerle ilintili sağladıkları bilgi miktarlarının birbirlerinden farklı çıkmasıyla gösterilmiştir. Bundan dolayı, çalışmanın sonucundan, tasaranacak insan hareketi tanıma sürecinde yer alan duyuların yapacakları katkı oranlarının belirlenmesinde yararlanılabilir.

Bu çalışmada, duyucu eksenleri birbirlerinden bağımsız değerlendirilmiştir. Aynı duyucu birimi üzerinde, aynı ölçüm türüne ait eksenler bir arada gruplandırılarak, vücutun farklı yerlerindeki *ölçüm türleri* değerlendirilebildiği gibi; aynı duyucu birimi üzerinde yer alan tüm eksenler de bir arada gruplandırılarak, vücut üzerindeki *duyucu birimleri* de değerlendirilebilir. Söz konusu değerlendirmelerle ilgili sonuçlar, önceki çalışmamızda yer almaktadır [18].

Bu çalışmada kullandığımız veri kümesine göre, insan vücutu üzerinde söz konusu olan tüm konumlardaki ivmeölçer ve manyetometrelerin, dönüölçerlere göre daha fazla bilgi sağladıkları görülmüştür. Buna göre aktivite tanıma süreci, veri kümesinde tanımlı olan duyucu yapılanışından dönüölçerler devre dışı bırakılarak tasarlanabilir. Önerilen yöntem, olası duyucu yapılanışları arasından en uygununu seçmek, böylece duyucu yapılanışındaki maliyeti ve aktivite tanıma algoritması üzerindeki işlem yükünü azaltmak amacıyla kullanılabilir.

Bu çalışma, peşpeşe yapılan aktivitelerin her biri tanındıkça, o aktivite için uygun duyucu eksenlerinin seçilmesi ve diğerlerinin devre dışı bırakılması üzerine devam edecektir.

KAYNAKÇA

- [1] E. Kim, S. Helal, D. J. Cook, "Human activity recognition and pattern discovery," *IEEE Pervas. Comput.*, 9(1): 48–53, Ocak–Mart 2010.
- [2] S. J. Preece, J. Y. Goulermas, L. P. J. Kenney, D. Howard, K. Meijer, R. Crompton, "Activity identification using body-mounted sensors—a review of classification techniques," *Physiol. Meas.*, 30(4): R1–R33, Nisan 2009.
- [3] P. K. Turaga, R. Chellappa, V. S. Subrahmanian, O. Udrea, "Machine recognition of human activities: a survey," *IEEE T. Circ. Syst. Vid.*, 18(11): 1473–1488, Kasım 2008.
- [4] A. Avci, S. Bosch, M. Marin-Perianu, R. Marin-Perianu, P. Havinga, "Activity recognition using inertial sensing for healthcare, wellbeing and sports applications: a survey," *23. Int. Conf. Archit. Comput. Syst.*: 1–10, Hannover, Almanya, 22–25 Şubat 2010.
- [5] B. U. Töreyin, Y. Dedeoğlu, A. E. Çetin, "HMM based falling person detection using both video and audio," *Lect. Notes Comput. Sc.*, 3766: 221–220, 2005.
- [6] M. Alwan, P. J. Rajendran, S. W. Kell, D. C. Mack, S. Dalal, M. Wolfe, R. A. Felder, "A smart and passive floor-vibration based fall detection for elderly," *2. Int. Conf. Inf. Commun. Technol.*: 1003–1007, Şam, Suriye, 24–28 Nisan 2006.
- [7] M. Ganyo, M. Dunn, T. Hope, "Ethical issues in the use of fall detectors," *Ageing Soc.*, 31(8): 1350–1367, Ekim 2011.
- [8] S. J. Preece, J. Y. Goulermas, L. P. J. Kenney, D. Howard, "A comparison of feature extraction methods for the classification of dynamic activities from accelerometer data," *IEEE T. Bio-med. Eng.*, 56(3): 871–879, Mart 2009.
- [9] K. Altun, B. Barshan, "Human activity recognition using inertial/magnetic sensor units," *20. Int. Conf. Pattern Recogn., Human Behaviour Understanding 2010: Lect. Notes Comput. Sc.*, 6219: 38–51, İstanbul, 23–26 Ağustos 2010.
- [10] L. Atallah, B. Lo, R. C. King, G.-Z. Gitang, "Sensor positioning for activity recognition using wearable accelerometers," *IEEE T. Bio-med. Circ. Syst.*, 5(4): 320–329, Ağustos 2011.
- [11] B. Fish, A. Khan, N. H. Chehade, C. Chien, G. Pottie, "Feature selection based on mutual information for human activity recognition," *IEEE Int. Conf. Acoust. Spee.*: 1729–1732, Kyoto, Japonya, 25–30 Mart 2012.
- [12] B. Barshan, M. C. Yüksek, "Recognizing daily and sport activities in two open source machine learning environments using body-worn sensors," *Comput. J.*, doi: 10.1093/comjnl/bxt075, 30 Temmuz 2013.
- [13] T. M. Cover, J. A. Thomas, *Elements of Information Theory*, New York, U.S.A.: John Wiley & Sons, Inc., 1991.
- [14] W. Li, "Mutual information functions versus correlation functions," *J. Stat. Phys.*, 60(5–6): 823–837, Eylül 1990.
- [15] K. Altun, B. Barshan, O. Tunçel, "Comparative study on classifying human activities with miniature inertial and magnetic sensors," *Pattern Recogn.*, 43(10): 3605–3620, Ekim 2010.
- [16] Xsens Technologies B.V., *MTi and MTx User Manual and Technical Documentation*, 15 Ekim 2010. Document MT0100P, Revision O.
- [17] W. Zucchini, "An introduction to model selection," *J. Math. Psychol.*, 44(1): 41–61, 2000.
- [18] O. Dobrucalı, B. Barshan, "Sensor-activity relevance in human activity recognition with wearable motion sensors and mutual information criterion," *28. Int. Sym. Comput. Inf. Sc.: Lect. Notes. Electr. En.*, 264: 285–294, Paris, Fransa, 28–29 Ekim 2013.